

природы и особенностей магнитного фазового перехода под давлением во фторосиликате марганца необходимы тщательные структурные исследования.

Авторы выражают благодарность И. М. Витебскому за обсуждение работы и ценные замечания.

### Л и т е р а т у р а

- [1] Ohtsubo A. J. Phys. Soc. Japan, 1965, vol. 20, N 1, p. 82—88.
- [2] Лукин С. Н., Цинцадзе Г. А. ФТТ, 1975, т. 17, № 6, с. 1872—1874.
- [3] Jehanno G., Varret F. Acta Cryst., 1975, vol. A31, part 6, p. 857—858.

Донецкий физико-технический институт  
АН УССР  
Донецк

Поступило в Редакцию  
23 июля 1987 г.

УДК 539.292

Физика твердого тела, том 30, в. 2, 1988  
*Solid State Physics, vol. 30, № 2, 1988*

## О МЕХАНИЗМЕ МЕЖЗЕРЕННОЙ ПРОВОДИМОСТИ ВЫСОКОТЕМПЕРАТУРНОЙ СВЕРХПРОВОДЯЩЕЙ КЕРАМИКИ

B. M. Свистунов, Ю. Ф. Ревенко, О. В. Григуть,  
B. Ю. Таренков

Новый класс высокотемпературных сверхпроводящих металлооксидов  $(L_{1-x}M_x)_2CuO_4$ . ( $L$ —Y, R3;  $M$ —Ba, Sr) представляет собой крупнозернистые многофазные композиты, в которых помимо сверхпроводящей присутствуют и нормальные фазы [1, 2]. От их соотношения сильно зависят многие физические свойства. Как в любом гранулярном сверхпроводнике, транспортные характеристики металлооксидов определяются связью между гранулами, тип которой и сила обусловлены структурой металла.

Работа посвящена исследованию электрических свойств межзеренных связей в новых сверхпроводниках при различных внешних воздействиях—температуры  $T$ , магнитного поля  $H$  и электромагнитного облучения  $P$ .

Эксперименты проведены на  $Y_{1.2}Ba_{0.8}CuO_4$ -керамике, приготовленной по методу твердофазной реакции из порошков  $Y_2O_3$ ,  $BaCO_3$  и  $CuO$  [2]. С целью получения детальной информации о механизмах проводимости режим синтеза был выбран таким, чтобы образцы имели широкую  $R(T)$ - зависимость сверхпроводящего перехода. Это позволило выделить на ней флуктуационную область, переход зерен в сверхпроводящее состояние и их ансамблей, начало процесса статической синхронизации фазы параметра порядка по межзеренным связям.

Для их наблюдения использовалась модуляционная методика записей динамического сопротивления  $dU/dI(U, I)|_{t, H, P_f}$  образцов, предложенная в [3]. Измерения проводились на пластинах размером  $\sim 8 \times 1 \times 1.5$  мм, вырезанных из синтезированных таблеток. В качестве контактов использовалось вожжено из пасты серебро. Эксперименты выполнялись в криостате с газообразной теплообменной средой. Влияние электромагнитного поля изучалось на частоте  $f=2\text{Гц}$  в устройстве, описанном в [4]. Результаты (рис. 1) представлены для образца  $Y-Ba-Cu-O$ , имеющего следующие параметры:  $T_c(R/2)=75$  К,  $T_c(R=0)=45$  К,  $\delta T_c=50$  К,  $\rho_{300K}=1.1 \cdot 10^{-1}$  Ом·см,  $R_{300}/R_{100K}=0.85$  (слабый полупроводниковый ход).

В  $R(T)$ -переходе этого образца выделены участки, проводимости которых описываются известными степенными законами. В верхней части кривой участки  $AB$  и  $BC$  с показателями степени  $\mu=2$  и  $1/2$  соответствуют проявлениям нуль- и трехмерных флуктуаций в проводимости, описываемых теорией Асламазова—Ларкина [5]. В данной области температур происходит формирование сверхпроводимости зерен. Показатель степени нижней части  $CD$   $R(T)$  зависимости (от  $T_{c_0}$  до  $T_{c_f}$ )  $\mu=4$ , который часто встречается для гранулярных сверхпроводников. Эта область соответствует проявлениям джозефсоновских флуктуаций в проводимости. Здесь происходит формирование межзеренных сверхпроводящих связей в переколяционном кластере композита, которое четко отражается в динамических характеристиках  $dU/dI(I)$ , снятых в резистивной области  $R(T)$ -перехода.

Начиная с момента образования связей на фоне общего понижения сопротивления в этих кривых проявляются нулевые аномалии проводи-

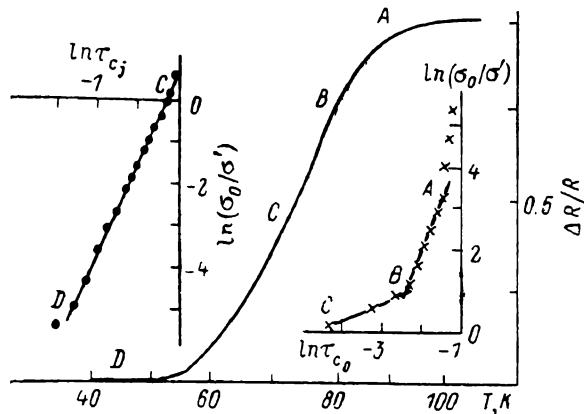


Рис. 1.  $R(T)$  — зависимость образца  $Y_{1.2}Ba_{0.8}CuO_4$ .

На вставках — функциональная зависимость проводимости  $\sigma_j \sim (t - T_c)^{\mu}$ ; участок  $AB$  — нульмерные флуктуации,  $\mu=2$ ;  $BC$  — трехмерные флуктуации,  $\mu=1/2$ ;  $C$  = область джозефсоновских флуктуаций;  $\mu=4$ .

мости, аналогичные обнаруженным ранее в  $Ba(Pb, Bi)O_3$  [3]. С уменьшением температуры амплитуды особенностей растут, достигая уровня  $R=0$  при  $T_{c_f}$ . Затем аномалия уширяется и характеристика  $dU/dI(I)$  показывает протекание сверхпроводящего тока. Воздействие внешних полей на данную гранулярную среду дало следующие результаты. На рис. 2 показано изменение сопротивления образца в магнитных полях  $H_{\parallel}$  при температуре 77 К, когда в системе гранул уже происходит зарождение джозефсоновских связей. В малых полях наблюдается быстрое увеличение сопротивления  $R(0)$  среды по закону  $\sigma \sim 1/H$ , аналогичному поведению  $I_c(H) \sim 1/H$  для статистически неоднородных джозефсоновских сред [6]. Смена функциональной зависимости в  $R(H)$  происходит в поле  $H \approx 20$  Э (см. вставку на рис. 2), которое соответствует кванту магнитного потока, протекающему в межзеренной контур. При этом на кривых  $dU/dI(U)|_H$  в малых полях отмечается быстрое затухание нулевой аномалии. Подобным образом ведет себя проводимость среды при электромагнитном облучении сверхвысокими частотами. Уже малые мощности облучения ( $P_f < 0.2$  мВт) приводят к подавлению аномалии в  $dU/dI(U)$  при незначительном изменении фонового сопротивления. Лишь при значительных мощностях ( $P_f > 5$  мВт) заметен рост общего сопротивления, вызванного тепловыми эффектами. Эти процессы хорошо отражаются изменением наклона прямых в зависимости  $R(P_f)$  (рис. 3). Чувствительность к облучению составляет для данного образца  $\Delta R/R \Delta P_f \approx 50$  Вт<sup>-1</sup>, в области малых  $P_f$  при больших мощностях она падает

до значений  $\sim 5$  Вт $^{-1}$ . Доля вклада первого механизма в изменение проводимости в данном случае составляет  $\Delta R/R \sim 2 \cdot 10^{-2}$ . Эта величина одинакова и в случае воздействия на образец магнитным полем что указывает на общую природу их изменения от внешних факторов. Основным механизмом в этом случае является эффект подавления слабых связей в гранулярной среде. Малость этого эффекта в проводимости обусловлена незначительным количеством связей в среде при температуре измерения 77 К.

Результаты данных экспериментов однозначно характеризуют новые металлооксидные сверхпроводники как среду с набором слабых связей. Эти керамики состоят из крупных зерен с  $d=1 \dots 20$  мкм. Для них, как и для обычных гранулярных сверхпроводников [7], хорошо проявляются все флуктуационные эффекты в проводимости, показывающие переход системы от нульмерной к трехмерной. В области от  $T_{c_j}$  до  $T_c$  проявляются

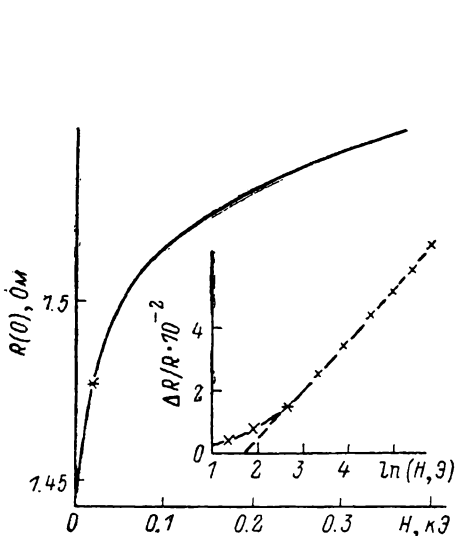


Рис. 2. Зависимость сопротивления  $R$  ( $U=0$ ) образца металлооксидной керамики от приложенного магнитного поля  $H$ . На вставке — изменение зависимости  $\Delta R/R$  от

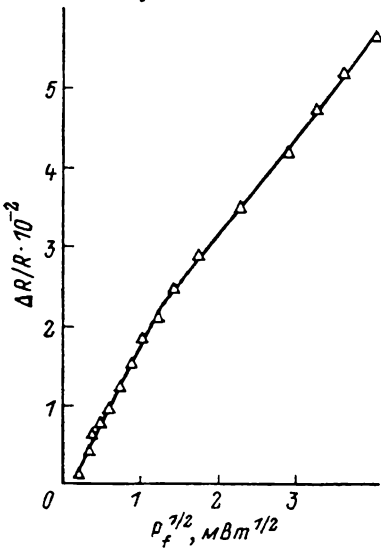


Рис. 3. Изменение сопротивления  $\Delta R/R$  образца от мощности электромагнитного облучения  $P_f$  ( $f=2$  ГГц,  $T=77$  К).

флуктуационные явления джозефсоновской природы, которые связаны с образованием синхронизированных межзеренных связей. Тип связей можно установить из температурной зависимости флуктуационной джозефсоновской компоненты проводимости  $\sigma_j \sim (t-1)^\mu$ . В нашем случае  $\mu=4$ . Согласно работы [8]  $\sigma_j \sim |E_j|^2 = \left| \frac{2\pi}{e} I_c \right|^2$  (здесь  $E_j$  — энергия джозефсоновой связи). Это означает, что вблизи  $T_{c_j}$  для связей должен выполняться закон  $I_c(T) \sim |1-t|^\mu$ , который соответствует реализации переходов типа  $S-N-S$  [9]. На данный тип связи указывает и малая чувствительность  $\sigma_j$  к магнитным и СВЧ полям. Для сравнения отметим, что в случае  $\text{Ba}(\text{Pb}, \text{Bi})\text{O}_3$ -керамик с  $S-I-S$  межзеренными барьерами эта чувствительность была на 3—4 порядка выше [8]. Исходя из этого можно констатировать, что свойства  $\text{Y}-\text{Ba}-\text{Cu}-\text{O}$ -керамики должны определяться эффектами близости. Они могут быть связаны как с наличием проводящего слоя на поверхности сверхпроводящих гранул, так и присутствием контактирующих с ними проводящих (а возможно, и сверхпроводящим с меньшим  $T_c$ ) зерен другого состава. Кроме того, малая зависимость от времени старения температурного коэффициента сопротивления (обычно положительного для  $\text{Y}-\text{Ba}-\text{Cu}-\text{O}$ -систем) в большинстве случаев свойственна для переходов с металлическими связями. В случае  $\text{La}-\text{Sr}(\text{Ba})-\text{Cu}-\text{O}$ -керамик легко реализуется полупровод-

никовый ход сопротивления, наблюдаются возвратные явления в проводимости. Это указывает на наличие в системе межзеренных связей  $S-I-S$ , которые обусловлены выпадением окисных (обычно  $\text{La}_2\text{O}_3$ ) фаз при деградации материала.

Таким образом, сверхпроводящие металлооксидные соединения могут представлять собой в самом общем случае слабосвязанную среду, физические свойства которой многообразны и подобны свойствам известных гранулированных сверхпроводников.

## Л и т е р а т у р а

- [1] Bednorz J. G., Müller K. A. Zs. Phys. B, 1986, vol. 64, N 2, p. 189—193.
- [2] Wu M. K., Ashburn J. R., Torng C. J., Hor P. H., Meng R. L., Gao L., Huang Z. J., Wang Y. Q., Chu C. W. Phys. Rev. Lett., 1987, vol. 58, N 9, p. 908—910.
- [3] Свистунов В. М., Ревенко Ю. Ф. Письма в ЖЭТФ, 1986, т. 44, № 6, с. 336—339.
- [4] Свистунов В. М., Ревенко Ю. Ф., Моисеев Д. П., Постников В. М. Письма в ЖТФ, 1986, т. 12, № 14, с. 845—848.
- [5] Асламазов Л. Г., Паркин А. И. ФТТ, 1968, т. 10, № 4, с. 1104—1111.
- [6] Габович А. М., Моисеев Д. П. УФН, 1986, т. 150, № 4, с. 599—623.
- [7] Свистунов В. М., Ревенко Ю. Ф., Моисеев Д. П., Постников В. М., Гаевский А. Г. ФНТ, 1985, т. 11, № 11, с. 1133—1143.
- [8] Simanek E. Phys. Rev. B, 1982, vol. 25, N 1, p. 237—244.
- [9] Де Жен П. Сверхпроводимость металлов и сплавов. М.: Мир, 1968. 280 с.

Донецкий физико-технический институт

АН УССР

Донецк

Поступило в Редакцию

28 июля 1987 г.

УДК 539.219.3 539.143.43

Физика твердого тела, том 30, в. 2, 1988

Solid State Physics, vol. 30, N 2, 1988

## НИЗКОЧАСТОТНОЕ ДВИЖЕНИЕ АТОМОВ ВОДОРОДА В МЕЖДОУЗЛИЯХ РЕШЕТКИ $\text{TaV}_2$ ПРИ НИЗКИХ ТЕМПЕРАТУРАХ

А. В. Скрипов, М. Ю. Беляев, С. В. Рычкова,  
А. П. Степанов, Е. П. Романов

Измерения времени ядерной спин-решеточной релаксации  $T_1$  в системах металл—водород позволяют получать микроскопическую информацию о подвижности атомов Н [1]. Возбуждение диффузионного движения приводит к появлению максимума на температурной зависимости скорости релаксации  $T_1^{-1}$  при  $\omega\tau_c \approx 1$ , где  $\omega=2\pi\nu$ ,  $\nu$  — частота, на которой наблюдается ядерный магнитный резонанс (ЯМР);  $\tau_c$  — время корреляции, пропорциональное среднему времени жизни диффундирующих атомов в одном междоузлии. В настоящей работе сообщается о наблюдении дополнительного низкотемпературного максимума  $T_1^{-1}$  в системе  $\text{TaV}_2-\text{H}$ . Эта особенность может быть связана с низкочастотными колебаниями атомов Н внутри междоузлий.

Интерметаллическое соединение  $\text{TaV}_2$  имеет структуру типа C15. При поглощении водорода образуется непрерывный ряд однородных твердых растворов внедрения  $\text{TaV}_2\text{H}_x$  ( $x \leq 1.8$ ) [2], причем атомы водорода занимают только тетраэдрические междоузлия  $g$ -типа, образованные двумя атомами V и двумя атомами Ta [3]. Рентгенографическое исследование образцов  $\text{TaV}_2\text{H}_x$  показало, что металлическая матрица сохраняет структуру C15 при понижении температуры до 80 К. Измерения времен спин-решеточной релаксации ядер  $^{61}\text{V}$  и  $^1\text{H}$  в  $\text{TaV}_2\text{H}_x$  ( $x=0.44$ , 0.53, 1.25 и 1.47) проводились в интервале температур 10—440 К на